

INSTITUTO GEOLOGICO Y MINERO DE ESPAÑA

INFORMACION COMPLEMENTARIA
DE LA
HOJA 16.08 (132) GUARDO

ALBUM FOTOGRAFICO

Agrupación temporal C.G.S., S.A. - IMINSA 1978

16.08-IM-GR-0692.- Conglomerados poligénicos y areniscas en posición invertida con fuertes buzamientos (Complejo de Vegaquemada). Por encima y dispuestos discordantemente sobre los anteriores aparecen conglomerados de clastos carbonatados en relación con fenómenos periglaciares. Situación: carretera entre Tarilonte y Castrejón de la Peña, en la intersección con el Aº de las Cuevas

16.08-IM-GR-0683.- Contacto entre la serie cretácica, bastante replegada (centro y derecha de la fotografía) y los Complejos de Vegaquemada y Cuevas, buzando hacia el S. Al fondo y a la izqda., cubiertos por bosque, los tramos superiores del sistema de abanicos de Aviñante. Un poco más cerca, superficie erosiva plana inclinada ligeramente hacia el S y excavada en los materiales de los Complejos de Vegaquemada y Cuevas. A la derecha y al fondo, relieves fuertes del Carbonífero. Vista desde un punto situado un poco al S de Tarilonte.

16.08-IM-GR-0675.- Detalle del conglomerado poligénico en uno de los canales de la parte más superior del Complejo de Vegaquemada. Obsérvese el mal calibrado de los clastos que lo componen. Carretera entre Tarilonte y Castrejón de la Peña, en su intersección con el Aº de las Cuevas.

16.08-IM-GR-0676.- Coladas conglomeráticas de clastos carbonatados cretácicos, afectadoas por un suave plegamiento y buzando ligeramente al N. (Complejo de Cuevas). Al fondo los fuertes relieves paleozoicos de la Sierra del Brezo. En primer plano, los mismos conglomerados parcialmente cubiertos de vegetación. La primera línea de árboles coincide con el trazado del Aº de las Cuevas.

16.08-IM-GR-0678.- Coladas conglomeráticas de clastos carbonatados - cretácicos, afectados por un suave plegamiento en anticlinal, cuyo eje se situa a la altura de la columna del tendido eléctrico. A la derecha de la misma las capas buzan cada vez más hacia el S. En primer plano los mismos conglomerados cubiertos - por vegetación. La primera línea de árboles coincide con el trazado del Aºde Las Cuevas.

16.08-IM-GR-0694.- Pequeñas coladas entre coladas sucesivas conglomeráticas con disminución gradual del angulo de buzamiento hacia el S y de abajo a arriba en la serie. Los conglomerados constan de clastos carbonatados cretácicos y corresponden a facies proximales de abanicos aluviales (Complejo de Cuevas). Localización: Aºde las Cuevas, un poco al S del contacto con el C. de Vegaquemada.

16.08-IM-GR-0697.- Superposicion de canales conglomeráticos subverticales constituidos por clastos de caliza cretacica. Facies proximales del C. de Cuevas. Localizacion: A de las Cuevas, ligeramente al S de su interseccion con la carretera de Guardo a Cervera de Pisuerga.

16.08-IM-GR-0700.- Discordancia de gran ángulo entre los conglomerados subhorizontales de la parte alta del C. de Cuevas y los fuertemente inclinados (invertidos) pertenecientes a los tramos inferiores del mismo sistema. A la izquierda de la fotografía, zona de contacto con las alternancias del C. de Vegaquemada. Localizacion: WNW de Pino de Viduerna. Al fondo relieves paleozoicos (Carbonífero) de la Sierra del Brezo.

16.08-IM-GR-0707.- Moldes de grietas de desecacion en la base de una capa de areniscas de grano muy grueso, microconglomeraticas, pertenecientes a las facies intermedias del C. de Cuevas y situadas en los afloramientos de la margen izquierda del rio, al E de Villalveto.

16.08-IM-GR-0698.- Canal conglomerático formado por coladas sucesivas progresivamente mas extensas hacia arriba. Los clastos son de calizas cretácicas. Facies intermedias del C. de Cuevas un poco al W de Pino de Viduerna.

16.08-IM-GR-0695.- Canales tubulares formados por conglomerados de -
clastos carbonatados cretácicos, excavados en fan-
gos rojizos (C. de Cuevas). Localización: un poco
al NW de Pino de Viduerna.

16.08-IM-GR-0696.- Idem, vistos desde otro ángulo.

16.08-IM-GR-0699.- Idem que la 0698. Se observa aquí, hacia la parte alta, una migración lateral del canal. Facies intermedias del C. de Cuevas, un poco al NW de Recueva de la Peña.

16.0--IM-GR-0701.- Igual que la anterior.

16.08-IM-GR-0688.- Alternancias de barras y canales de conglomerados poligenicos con fangos y fangos arenosos anaranjados y rojizos. Facies braided intermedias del Abanico de Aviñante en la localidad de Vega de Riacos.

16.08-IM-GR-0679.- Barras y canales conglomeráticos soldados con varios sets superpuestos de estratificacion cruzada en surco a mediana escala. Localmente se observa orientacion en los clastos así como un aumento hacia arriba en el tamaño de los mismos siguiendo las láminas de cada set. Por debajo de los conglomerados aparece una capa de fangos rojizos arenosos. Zona intermedia del sistema de Abanicos de Aviñante (poligenico), en la localidad de Vega de Riacos.

16.08-IM-GR-0693.- Canales y barras conglomeráticas de clastos poligénicos con laminación cruzada en surco a mediana escala y base erosiva irregular. En la fotografía se observan dos de estas coladas superpuestas, erosionando a fangos arenosos rojizos con cantos dispersos y estratificaciones cruzadas. Sistema de Abanicos de Aviñante, en Vega de Riacos.

16.08-IM-GR-0702.- Barras y canales conglomeraricos soldados, con varios sets superpuestos de estratificación cruzada en surco amediana escala. Localmente se observa orientación de los clastos, bandeados de distintos tamaños y granoselección positiva. Por debajo de los conglomerados aparece una capa de fangos arenosos rojizos. Zonas intermedias del Sistema de Abanicos de Aviñante (poligénico) en la localidad de Vega de Riacos.

16.08-IM-GR-0687.- Conglomerados silíceos muy mal calibrados y desorganizados en fangos, aflorando en los taludes de un pequeño barranco próximo a la carretera (Villalba de Guardo). Se observan con frecuencia fenómenos de fuerte alteración y disgregación de los clastos areniscosos. En la parte alta de la fotografía aparecen niveles rojizos de fangos englobando pequeños cantos. El conjunto pertenece a las facies intermedias del Abanico de Guardo.

16.08-IM-GR-0703.- Conglomerados silíceos muy mal calibrados y en gran parte desorganizados en fangos, aflorando en los taludes del barranco de Villalba de Guardo. Facies similar a la anterior.

16.08-IM-GR-0710.- Canales de conglomerados silíceos con lentejones arenosos. El conjunto forma sucesivas secuencias positivas truncados y superpuestas. Facies braided dentro del sistema de abanicos de Cantoral, un poco al NE de la localidad del mismo nombre.

16.08-IM-GR-0705.- Costra formada por óxidos de hierro y de manganeso en la base de los canales braided del Sistema de abanicos de Cantoral, situada un poco al NE de la localidad del mismo nombre. Las arcillas situadas inmediatamente por debajo corresponden a zonas de llanura de inundación y se sitúan en el techo del ciclo positivo subyacente.

16.08-IM-GR-0686.- Nivel de cantos cuarcíticos rodeados por películas negras y brillantes de óxidos de manganeso. Obsérvase el mal calibrado de los clastos. Facies braided en la zona media del abanico de Cantoral. Carretera entre la Puebla de Valdavia y Bascones de Ojeda.

16.08-IM-GR-0691.- Conglomerados silíceos (arenisca y cuarcita) mal calibrados y sin orientación apreciable (Raña) depositados sobre fangos algo arenosos rojizos con pequeños cantes aislados; entre aquellos y estos, existe una superficie irregular y erosiva. Situación: ligeramente al S de Fontechá.

16.08-IM-GR-0682.- Conglomerados silíceos mal calibrados y sin orientación apreciable de los clastos (Raña) depositados sobre fangos algo arenosos rojizos con pequeños cantes aislados; entre aquellos y estos existe una superficie irregular y erosiva. Situación: ligeramente al S de Fontechá.

16.08-IM-GR-0685.- Terraza en la orilla izquierda del río Carrión, recubierta posteriormente por coluviones probablemente en relación con procesos periglaciares. Obsérvese en la pared izquierda del barranco la inclinación de los materiales deslizados, aproximadamente paralela a la de la vertiente actual. Localidad: Villalba de Guardo.

16.08-IM-GR-0709.- Conglomerados de clastos angulosos de Caliza de Montaña, correspondientes a facies distales de conos de pie de monte cuaternarios, en relación con fenómenos periglaciares. La zona deprimida y cultivada que aparece en el centro de la fotografía ha sido formada en un proceso posterior de excavación y disección de los conos. Al fondo, relieve paleozoico (Carbonífero). Localización: NW de Villanueva de la Peña

16.08-IM-GR-0684.- Conglomerados de clastos angulosos de Caliza de Montaña, correspondientes a facies distales de conos de pie de monte cuaternarios, en relación con fenómenos periglaciares. La zona deprimida y cultivada que aparece en el centro de la fotografía ha sido formada en un proceso posterior de excavación y disección de los conos. Al fondo, relieves paleozoicos (Carbonífero)
Localización: N de Traspeña

16.08-IM-GR-0677.- Conglomerados de clastos angulosos de Caliza de Montaña, bien cementados por carbonato. Facies de conos de pie de monte anterior en relación con fenómenos periglaciares. NW de Villanueva de la Peña.

16.08-IM-GR-0708.- Conglomerados de clastos angulosos de Caliza de Montaña y arenisca carbonífera. En la fotografía se aprecia orientación e imbricación de los clastos, estratificación cruzada en surco a mediana escala y lentejones arenosos. El conjunto se apoya a su vez discordantemente sobre las capas verticales del Complejo de Vegaquemada (tonos pardoamarillentos). Trinchera excavada al pie de la Carretera entre Pisón de Castrejón y Castrejón de la Peña.

16.08-IM-GR-0689.- Estructuras "dish" en conglomerados de clastos angulosos de Caliza de Montaña y arenisca carbonífera correspondientes a facies distales de conos de pie de monte cuaternarios retocados posteriormente. El proceso probablemente está en relación con fenómenos periglaciares. Trinchera excavada al pie de la carretera entre Pisón de Castrejón y Castrejón de la Peña.

16.08-IM-GR-0704.-Conglomerados de clastos angulosos de Caliza de Montaña.
y arenisca carbonífera. En la fotografía se aprecia la orientación e imbricación de los clastos, estratificación cruzada en surco a mediana escala y lentejones arenosos. Estos depósitos son el resultado de retoque y excavación de las partes distales de conos de pie de monte cuaternarios. Trinchera excavada al pie de la carretera entre Pisón de Castrejón y Castrejón de la Peña.

- 15.08-IM-GR-0680.- Clastos silíceos (cuarcita y arenisca) rellenando cavidades kársticas previamente excavados en capas de calizas cretácicas con disposición invertida (buzamiento hacia el N). Carretera de Muñeca a Intorcisa.
- 16.08-IM-GR-0706.- Costra carbonatada formada a expensas de una capa de areniscas de grano muy grueso microconglomeráticas pertenecientes a las facies intermedias del Complejo de Cuevas y situadas en los afloramientos de la margen izquierda del río al E de Villalveto.

16.08-IM-GR-0690.- Conglomerados de clastos angulosos de Caliza de Montaña correspondientes a facies distales de conos de pie de monte cuaternarios, en relación con fenómenos periglaciares. La zona deprimida y cultivada que aparece en el centro de la fotografía ha sido formada en un proceso posterior de excavación y disección de los conos. Al fondo, relieves paleozoicos (Carbonífero). Localización: N de Traspeña.

16.08-IM-GR-0681.- Restos de varios niveles de superficies planas de erosión, excavadas sobre los afloramientos de calizas cretácicas (tonos gris claros en la fotografía). A la izquierda y al fondo, parte superior del sistema de abanicos de Guardo. A la derecha, relieves paleozoicos (Carbonífero). El área deprimida y ligeramente cóncava al centro, corresponde al Complejo de Vegaquemada, recubierto por cultivos. Vista desde el camino entre Pino de Viduerna y Aviñante, en dirección WSW.



16.08-IM-GR-0675



16.08-IM-GR-0676



16.08-TM-GR-0677



16.08-IM-GR-0678



16.08-TM-GR-0679



15.08-IM-GR-0680



16.08-IM-GR-0681



16.08-IM-GR-0682



16.08-IM-GR-0683



16.08-IM-GR-0684



16.08-IM-GR-0685



16.08-TM-GR-0686



16.08-IM-GR-0687

55



16.08-IM-GR-0688

16.08-TM-GR-0689



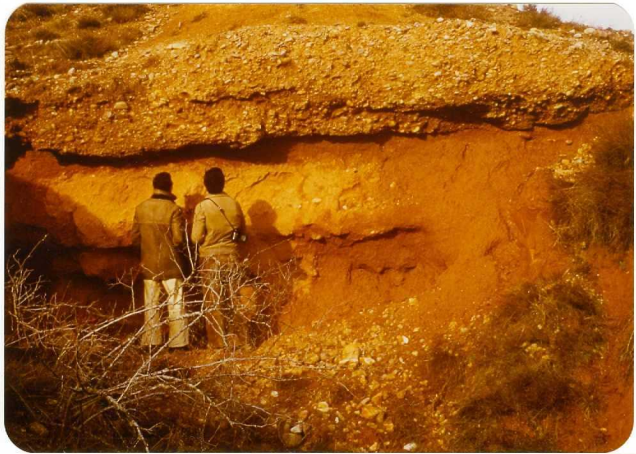
16.08-IM-GR-0690



16.08-TM GR



16.08-IM-GR-0692



16.08-IM-GR-0693



16.08-IM-GR-0694



16.08-IM-GR-0695



16.08-IM-GR-0696



16.08-IM-GR-0697



16.08-IM-GR-0698



16.08-IM-GR-0699

1.57



16.08-IM-GR-0700



16.08-IM-GR-0701

16.08-IM-GR-0702





16.08-IM-GR-0703



16.08-IM-GR-0704



16.08-IM-GR-0705

16.08-IM-GR-0706





16.08-IM-GR-0707



16.08-IM-GR-0708



16.08-IM-GR-0709



16.08-IM-GR-0710